

$$C_{ijkl}^{(2)} H_k^{(0)} k_l = C_{ijm} [\mathbf{H} \times \mathbf{k}]_m + C_{ijkl}^{(S)} H_k^{(0)} k_l \delta_{ij} \delta_{kl} \quad (7.5)$$

Отличны от нуля следующие компоненты тензоров \mathbf{C} и $\mathbf{C}^{(S)}$:

$$C_{ijm} = C_1$$

$$C_{xyyy}^{(S)} = C_{yyzz}^{(S)} = C_{zzxx}^{(S)} - C_{yyxx}^{(S)} = -C_{zzyy}^{(S)} = -C_{xxzz}^{(S)} = C_2 . \quad (7.6)$$

Таким образом, билинейные по волновому вектору и магнитному полю члены в тензоре диэлектрической проницаемости в кубических кристаллах выглядят как:

$$C_{ijkl}^{(2)} H_k k_l = \begin{bmatrix} C_2(H_y k_y - H_z k_z) & C_1(H_y k_x - H_x k_y) & C_1(H_x k_z - H_z k_x) \\ C_1(H_y k_x - H_x k_y) & C_2(H_z k_z - H_x k_x) & C_1(H_z k_y - H_y k_z) \\ C_1(H_x k_z - H_z k_x) & C_1(H_z k_y - H_y k_z) & C_2(H_x k_x - H_y k_y) \end{bmatrix}, \quad (7.7)$$

Здесь $x \parallel [100]$, $y \parallel [010]$, $z \parallel [001]$.

Замечание: Диагональные компоненты тензора $C_{ijkl}^{(2)}(\omega)$ описывают эффект четности. Недиagonальные компоненты описывают эффект магнито-индуцированного двулучепреломления и эффект инверсии магнитного поля. Рассмотрим эти эффекты подробнее.

7.1. Эффект инверсии магнитного поля

Экспериментально установлено, что интенсивность и положение линий в спектрах пропускания и отражения света могут зависеть от знака магнитного поля или волнового вектора, при этом одновременная смена знака магнитного поля и волнового вектора не приводила к изменению спектра [18, 23].

Для объяснения этого явления рассмотрим поглощаемую мощность в единицу времени в единице объема [22]:

$$W = \frac{\omega}{8\pi} \text{Im} \varepsilon_{ij}(\omega, \mathbf{k}, \mathbf{H}) E_i E_j^* . \quad (7.8)$$

В кристаллах, не имеющих центра инверсии (Глава 1) выполняются соотношения

$$\varepsilon_{ij}(\omega, \mathbf{k}, \mathbf{H}) \neq \varepsilon_{ij}(\omega, \mathbf{k}, -\mathbf{H}) \quad (7.9)$$

$$\varepsilon_{ij}(\omega, \mathbf{k}, \mathbf{H}) \neq \varepsilon_{ij}(\omega, -\mathbf{k}, \mathbf{H}) ,$$

однако

$$\varepsilon_{ij}(\omega, \mathbf{k}, \mathbf{H}) = \varepsilon_{ij}(\omega, -\mathbf{k}, -\mathbf{H}) . \quad (7.10)$$

Следовательно, спектр поглощения зависит от взаимной ориентации волнового вектора света и магнитного поля. Это означает, что эффект пропорционален произведению волнового вектора света и магнитного поля. Эффект инверсии магнитного поля впервые наблюдался в работах [24, 18], микроскопические причины этого явления связаны со спин-орбитальным взаимодействием.

Эффект инверсии магнитного поля можно наблюдать не только в объемных кристаллах, но и в квантовых ямах.

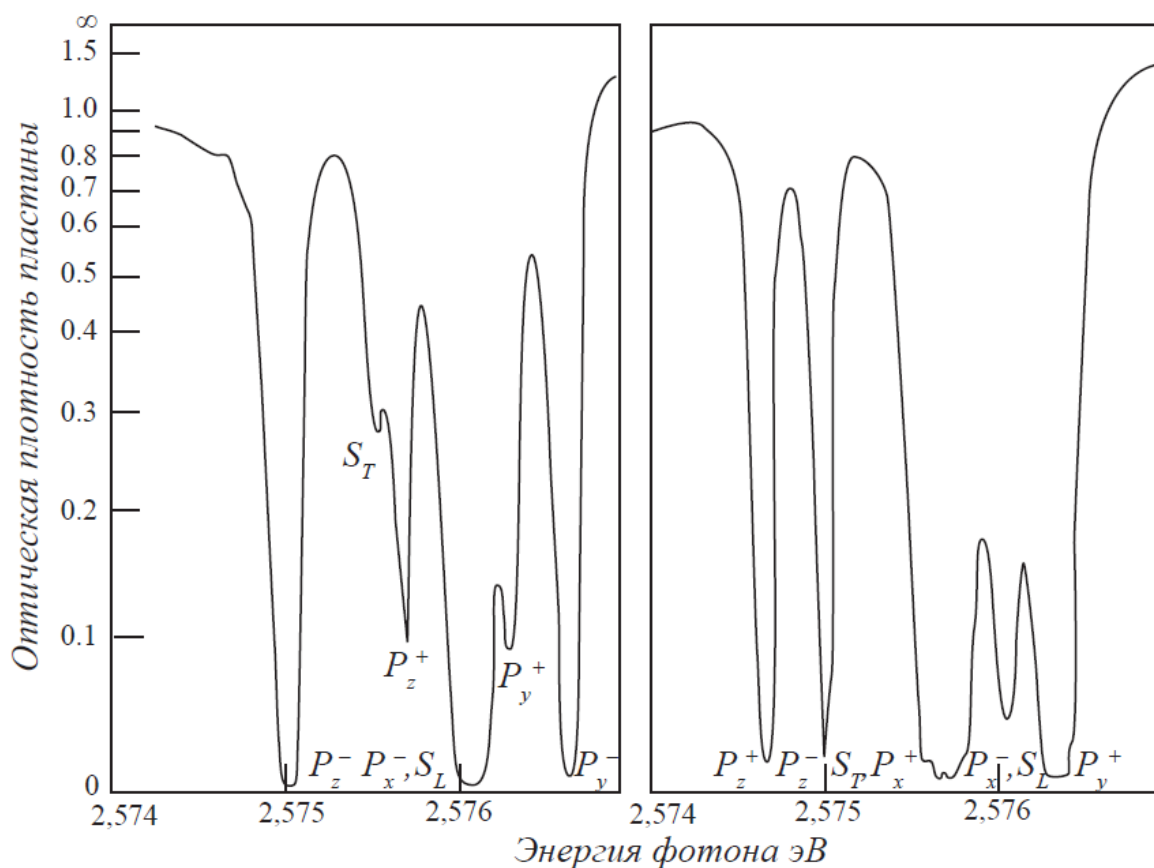


Рис 7.1. Эффект инверсии магнитного поля. Спектры пропускания кристалла CdS (из статьи D.G.Thomas, J.J. Hopfield Phys. Rev. Lett. V.5, 505 (1960)) снятые в геометрии Фогта $\mathbf{K} \perp \mathbf{H}$ для двух противоположных направлений магнитного поля а) H^+ , б) H^- .

7.2. Эффект не взаимного магнито-индуцированного двулучепреломления в гексагональных кристаллах

Иногда этот эффект называют эффектом магнито-индуцированной пространственной дисперсии оптических осей кристалла (зависимость направления оптической оси кристалла от волнового вектора и магнитного поля), он впервые наблюдался в кристаллах CdS и CdSe [19, 25] и затем в кристаллах GaAs [20].

В кристаллах со структурой вюрцита (CdS, CdSe) в геометрии $\mathbf{k} \perp C_6$ а $\mathbf{H} \parallel C_6$ в области изотропной точки (где показатели преломления обыкновенного и необыкновенного лучей совпадают), наблюдался эффект индуцированного магнитным полем двулучепреломления. При этом величина и направление угла поворота оптической оси относительно направления магнитного поля зависит от величины и знака магнитного поля и волнового вектора.

Исследовались спектры пропускания $T = |t|^2$ в геометрии $\mathbf{H} \parallel C_6$ $\mathbf{k} \perp \mathbf{H}$ (C_6 гексагональная ось кристалла). Падающий свет был линейно поляризован вдоль или перпендикулярно оси C_6 : $\mathbf{P} \parallel C_6$ или $\mathbf{P} \perp C_6$. Измерялись интенсивность прошедшего света в линейной поляризации, перпендикулярной поляризации падающего света $\mathbf{P} \perp C_6$ или $\mathbf{P} \parallel C_6$: I_{\parallel}

, I_{\perp} , в циркулярной поляризации: I_{σ^+} , I_{σ^-} и линейной поляризации в осях повернутых на 45 градусов относительно поляризации падающего света: I_{+45} , I_{-45} .

В ортогональных поляризациях падающего и прошедшего света в отсутствие магнитного поля сигнал пропускания отсутствовал. При приложении магнитного поля $\mathbf{H} \parallel C_6$ наблюдалось появление пропускания (**Рисунок 7.2**).

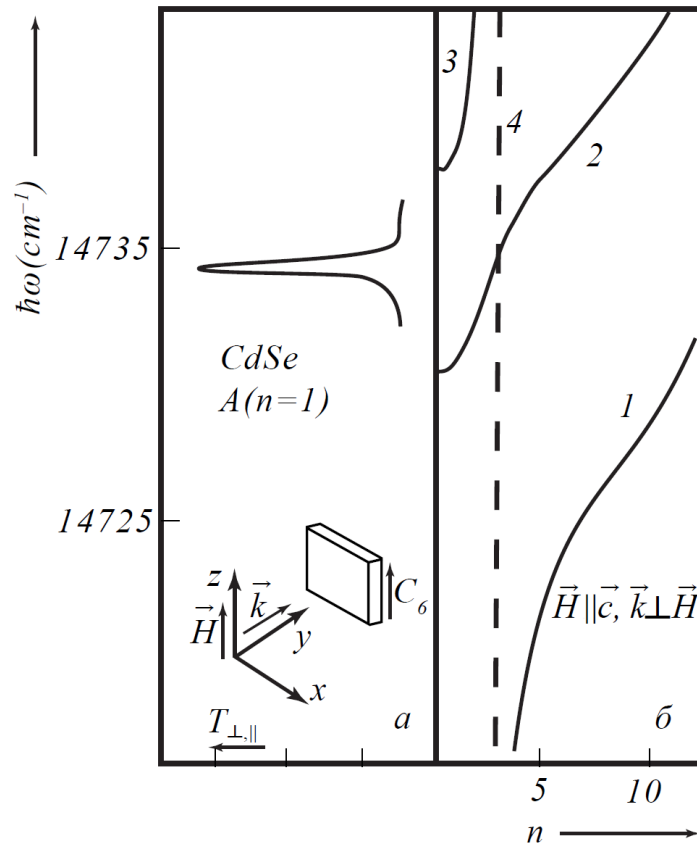


Рис 7.2. а) Спектр пропускания $T_{\perp,||}$ кристалла CdSe в скрещенных поляризаторах $\mathbf{P} \parallel C_6$, $\mathbf{A} \perp C_6$ в магнитном поле $H = 6T$ направленном вдоль оси C_6 . На вставке геометрия эксперимента. б) Дисперсионные кривые магнитополяритонов в окрестности экситонного резонанса $A(n=1)$ в кристалле CdSe. Сплошная кривая – дисперсия обыкновенной волны с поляризацией $\mathbf{E} \perp C_6$; Пунктир – дисперсия необыкновенной волны с поляризацией $\mathbf{E} \parallel C_6$

1). Спектр пропускания в ортогональных поляризациях падающего и прошедшего света представлен на **рисунке 7.2**. Сигнал пропускания имеет резонансный характер в области пересечения дисперсий обыкновенной и необыкновенной волн ω_{is} (*изотропная точка*). Величина сигнала в максимуме составляла $S = T_{\perp,||} / T_{||,||} \approx 0.05$. (**Рисунок 7.3а**).

2). Когда падающий свет был линейно поляризован, прошедший через образец свет был поляризован эллиптически. Главная ось эллипса поляризации повернута относительно плоскости поляризации падающего света. Степень циркулярной поляризации $P_{cir} = \frac{I_{\sigma^+} - I_{\sigma^-}}{I_{\sigma^+} + I_{\sigma^-}}$ имеет максимум в изотропной точке, величина P_{cir} при $H = 6T$ составляет ≈ 0.4 (**Рисунок 7.3б**).

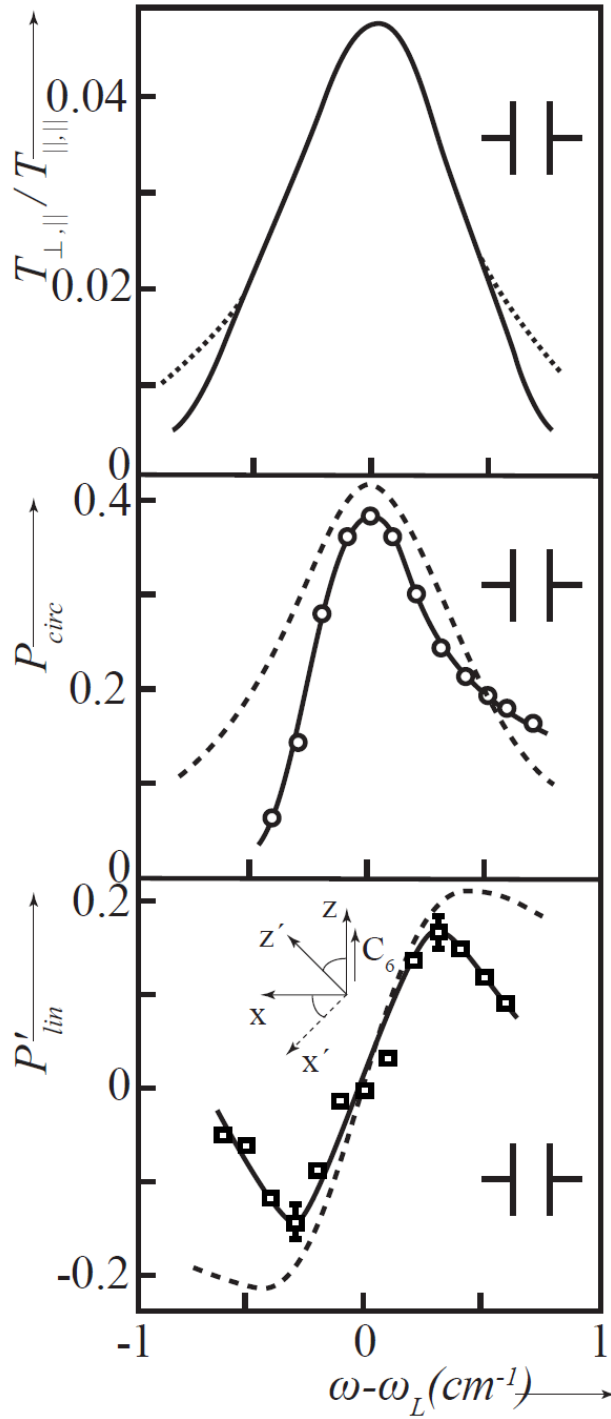


Рис 7.3. а) Отношение сигналов пропускания $T_{\perp,||} / T_{||,||}$ в скрещенных поляризаторах ($T_{\perp,||}$) и в параллельных поляризаторах ($T_{||,||}$) в окрестности изотропной точки (пересечение дисперсий обыкновенного и необыкновенного лучей) в магнитном поле $H = 6T$; б) Степень циркулярной поляризации P_{circ} прошедшего через образец света; в) Степень линейной поляризации P'_{lin} в осях z', x' повернутых относительно осей z, x на 45 градусов (см. вставку).

$$P_{circ} = \frac{I_{\sigma^+} - I_{\sigma^-}}{I_{\sigma^+} + I_{\sigma^-}}, \quad P'_{lin} = \frac{I_{z'} - I_{x'}}{I_{z'} + I_{x'}}$$

3). Величина пропускания в ортогональных линейных поляризациях пропорциональна квадрату магнитного поля H^2 .

4). Смена знака магнитного поля на обратный приводит к смене знака циркулярной поляризации P_{cir} и не влияет на $T_{\perp\parallel}$ и $T_{\parallel\perp}$ (**Рисунок 7.3в**).

Эти данные указывают на то, что магнитное поле $\mathbf{H} \parallel C_6$ приводит к повороту оптической оси кристалла на угол

$$\varphi = \frac{1}{2} \arctg (P'_{lin} / P_{lin}) , \quad (7.11)$$

где $P_{lin} = \frac{I_{\parallel} - I_{\perp}}{I_{\parallel} + I_{\perp}}$ - степень линейной поляризации света в осях x, z параллельных и

перпендикулярных гексагональной оси C_6 , $P'_{lin} = \frac{I_{+45} - I_{-45}}{I_{+45} + I_{-45}}$ степень линейной поляризации света

в осях повернутых на $\pm 45^\circ$ относительно осей x, z .

Рассмотрим вклад в тензор диэлектрической проницаемости слагаемых билинейных по магнитному полю и волновому вектору. Как следует из Глав 3, 4 и 5, (4.16) и (5.35) тензор диэлектрической проницаемости с учетом линейных по волновому вектору и магнитному полю слагаемых в гексагональном кристалле в геометрии $\mathbf{H} \parallel z \parallel C_6$ и $\mathbf{k} \perp \mathbf{H}$, $\mathbf{k} \parallel y$ имеет вид:

$$\begin{pmatrix} \varepsilon_{\perp}(\omega) & i\theta H_z & AH_z k_y \\ -i\theta H_z & \varepsilon_{\perp}(\omega) & i\gamma k_y \\ AH_z k_y & -i\gamma k_y & \varepsilon_{\parallel}(\omega) \end{pmatrix} . \quad (7.12)$$

Так как изучаются спектры пропускания при нормальном падении света, удобно перейти к поперечному тензору диэлектрической проницаемости (1.26):

$$\varepsilon_{\perp,xz} = \varepsilon_{\perp,zx} = A^{\perp} H_z^{(0)} k_y, \quad A^{\perp} = A + \frac{\theta\gamma}{\varepsilon_{xx}}, \quad (7.13)$$

$$\varepsilon_{\perp,xx} = \varepsilon_{xx} - \frac{(\theta H_z^{(0)})^2}{\varepsilon_{xx}}, \quad \varepsilon_{\perp,zz} = \varepsilon_{zz} - \frac{(\gamma k_y)^2}{\varepsilon_{xx}} .$$

Вклад в поперечный тензор $\varepsilon_{\perp,ij}$ вносят не только слагаемые пропорциональные произведению k и $H^{(0)}$ в разложении (2.3), но и линейные по полю и волновому вектору слагаемые описывающие эффект оптической активности и эффект Фарадея. Однако в исследуемой геометрии эксперимента сами по себе эти эффекты не проявляются. Когда $A^{\perp} \neq 0$, направления главных осей тензоров $\text{Re} \varepsilon_{\perp,ij}$ и $\text{Im} \varepsilon_{\perp,ij}$ зависят от величины волнового вектора. Следовательно, это явление естественно назвать как «*Магнито-индуцированная пространственная дисперсия оптических осей*».

Если $\text{Im} \varepsilon_{\perp,ii} \ll \text{Re} \varepsilon_{\perp,ii}$ то пользуясь (1.20) можно, используя теорию возмущений, получить:

$$n_{\perp}^2 \approx \varepsilon_{\perp,xx} + \frac{\varepsilon_{\perp,xz}^2}{\varepsilon_{\perp,xx} - \varepsilon_{\perp,zz}}, \quad (7.14)$$

$$n_{\parallel}^2 \approx \varepsilon_{\perp,zz} - \frac{\varepsilon_{\perp,xz}^2}{\varepsilon_{\perp,xx} - \varepsilon_{\perp,zz}}.$$

Отсюда видно, что при $A^{\perp} \neq 0$ имеет место двулучепреломление (Глава 3). Главной микроскопической причиной этого явления является смешивание в магнитном поле состояний экситона серии A , поляризованного перпендикулярно оптической оси кристалла, и экситона серии B , поляризованного вдоль оптической оси. Это смешивание определяется линейным по волновому вектору вкладом в дисперсию экситонов A, B .

7.3. Эффект не взаимного магнито-индуцированного двулучепреломления в кубических кристаллах с симметрией T_d .

В кубических кристаллах (GaAs) в геометрии $\mathbf{k} \parallel [110]$, $\mathbf{H} \parallel [1-10]$ также наблюдался эффект двулучепреломления индуцированного магнитным полем. Эксперимент проводился в скрещенных анализаторе $\mathbf{A} \parallel [1-10]$ и поляризаторе $\mathbf{P} \parallel [001]$.

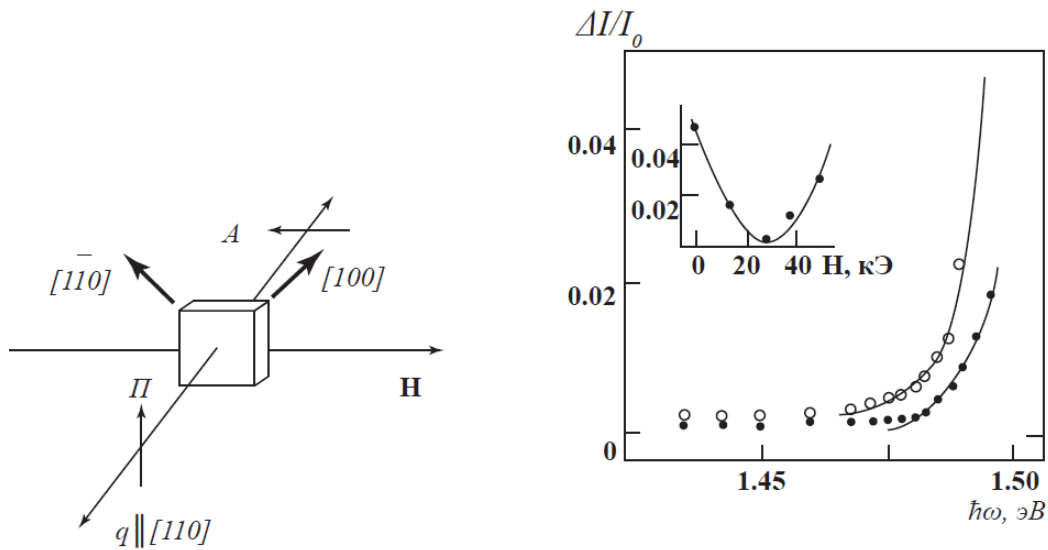


Рис 7.4. а) Схема эксперимента. Падающий луч направлен вдоль оси $[110]$ кристалла. Магнитное поле направлено вдоль оси $[1-10]$. Падающий луч поляризован вдоль оси $[001]$ детектировалась поляризация вдоль $[1-10]$. б) Относительная интенсивность света прошедшего через скрещенные поляризаторы $\frac{\Delta I(H)}{I_0}$, I_0 интенсивность падающего света. Пустые кружки – нулевое магнитное поле. Сплошные кружки – поле $H = 13T$. На вставке зависимость $\frac{\Delta I(H)}{I_0}$ от магнитного поля.

В нулевом магнитном поле в скрещенных поляризаторах наблюдалось двойное лучепреломление, обусловленное квадратичным по волновому вектору вкладом в тензор диэлектрической проницаемости (6.1). В магнитном поле величина двупреломления уменьшалась до нуля в поле 2.7 Т. При дальнейшем увеличении поля, двулучепреломление снова возрастало. Билинейный вклад в тензор диэлектрической проницаемости в этой геометрии выглядит как

$$\delta\varepsilon_{ij} = \begin{pmatrix} 0 & C_1 [\mathbf{k} \times \mathbf{H}]_z & 0 \\ C_1 [\mathbf{k} \times \mathbf{H}]_z & 0 & 0 \\ 0 & 0 & 0 \end{pmatrix} \quad (7.15)$$

Здесь оси x, y, z выбраны вдоль направлений $[100], [010], [001]$. Из самой формы тензора ε_{ij} видно, что в магнитном поле имеет место двойное лучепреломление вызванное пространственной дисперсией, с показателями преломления

$$n_{\pm}^2 = \varepsilon^{(0)}(\omega) \pm C_1 [\mathbf{k} \times \mathbf{H}]_z \quad (7.16)$$

Новые оптические оси кристалла в магнитном поле направлены вдоль кристаллографических осей $[110]$ и $[1-10]$. В результате этого, если падающий свет был поляризован вдоль $\mathbf{P} \parallel [001]$, то прошедший свет оказывается поляризованным эллиптически.

Микроскопической причиной этого явления является смешивание состояний тяжелого и легкого экситонов, вызванное магнитным полем и линейным по волновому вектору вкладом в дисперсию дырок. На первый взгляд это выглядит как эффект Фарадея в геометрии Фогта. Однако, как показывает детальный анализ, проведенный выше, в отличие от эффекта Фарадея, (циркулярного магнитного двупреломления) здесь имеет место линейное магнитное двулучепреломление.

7.4. Эффект четности в оптических спектрах экситонов в квантовых ямах

В оптических спектрах структур с квантовыми ямами недавно был обнаружен новый магнитнооптический эффект - «*эффект четности*». Этот эффект заключается в перераспределении силы осциллятора экситона от нечетных, к четным состояниям квантования центра масс и наоборот от четных к нечетным состояниям, в присутствии магнитного поля.

В широкой квантовой яме (КЯ) движение центра масс экситона квантуется в поперечном направлении (z). Состояния размерного квантования экситона определяется условием $k_z L = \pi n$, где L - ширина КЯ, k_z - волновой вектор, n - целое. Волновые функции этих квантованных состояний являются четными или нечетными по отношению к отражению в центре КЯ. В случае, если ширина КЯ удовлетворяет условию $k_z L = 2\pi n$, только четные состояния взаимодействуют со светом, если же $k_z L = \pi(2n+1)$, то только нечетные состояния являются оптически активными [26]. Это происходит из-за различного перекрытия волновых функций для разных уровней размерного квантования экситона и электромагнитного поля.

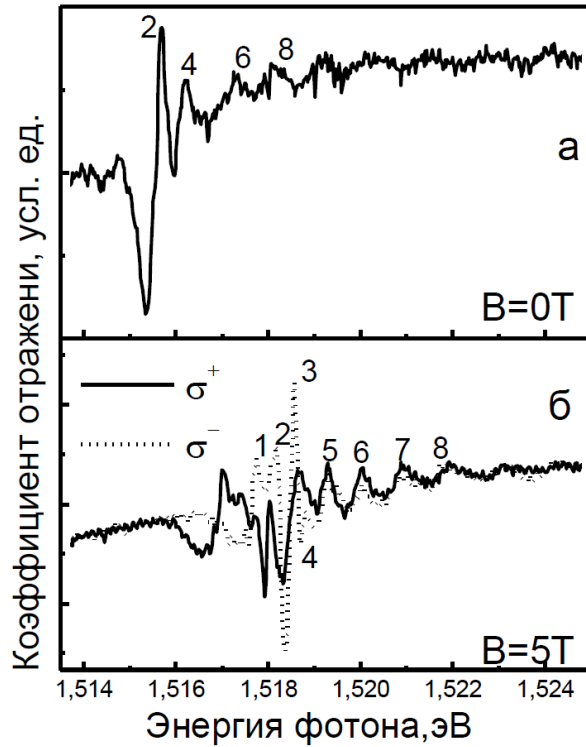


Рис 7.5. Спектры отражения КЯ GaAs/AlGaAs шириной 280 нм. Падающий свет линейно поляризован вдоль [100] и анализируется круговая поляризация отраженного света. Показаны номера экситонных состояний. а) в магнитном поле 0 Т, б). в магнитном поле 5 Т.

На рисунке 7.5а) в спектре отражения видны особенности, связанные с размерным квантованием движения экситонов как целого. В связи с тем, что толщина этой КЯ была такова, что выполняется условие $k_z L = 2\pi n$, в нулевом поле в спектре проявляются только четные состояния (рис.7.5а). В магнитном поле нечетные состояния квантования экситонов становятся наблюдаемыми в дополнение к четным состояниям (рис.7.5б). На рисунке 7.5б мы вычли зеемановское расщепление экситонных линий, чтобы подчеркнуть эффект четности.

В геометрии эксперимента $\mathbf{k} \parallel \mathbf{H} \parallel z$, ось z вдоль направления [001]:

$$C_{ijkl}^{(2)} H_k k_l = \begin{bmatrix} -C_2 H_z k_z & 0 & 0 \\ 0 & C_2 H_z k_z & 0 \\ 0 & 0 & 0 \end{bmatrix}. \quad (7.17)$$

Очевидно, что эти слагаемые приводят к линейному двойному лучепреломлению, при этом главные оптические оси кристалла оказываются направленными вдоль кристаллографических осей [110] и [1-10]. Таким образом, если падающий свет поляризован вдоль оси [100], то отраженный свет и свет в спектре пропускания оказывается эллиптически поляризованным. Если же падающий свет поляризован вдоль [110] или [1-10], то он не меняет своей поляризации при отражении и пропускании. Именно это и наблюдается в эксперименте [21].

Для экситонных поляритонов условие квантования в терминах показателя преломления [27] запишется в виде

$$\frac{\omega}{c} \tilde{n} L = \pi n . \quad (7.18)$$

Из (7.17) видно, что в присутствии магнитного поля появляются поправки к условию квантования поляритонов. В результате условия наблюдения только четных $k_z L = 2\pi n$ или только нечетных $k_z L = \pi(2n+1)$ уровней нарушается, и в спектре проявляются уровни с разной четностью.

Для экситона с тяжелой дыркой, воспользовавшись результатами Приложения 2, можно показать, что

$$C_2 = BH_z k_z \frac{d}{3|E_{LH}^0 - E_{HH}^0|} , \quad (7.19)$$

где $E_{LH}^0 - E_{HH}^0$ - разность энергий тяжелого и легкого экситона, Величина B была рассчитана в статье [20].

$$B = \left(\frac{\gamma}{\gamma_1} \right)^2 \left(\frac{m_{hh}}{m_e + m_{hh}} \right) (\hbar \kappa_0) \left(\frac{\mu_0}{2Ry} \right) \sum_n \frac{\langle 1S | r / a_B | nP \rangle \langle nP | \nabla | 1S \rangle}{1 - 1/n^2} , \quad (7.20)$$

где κ_0 - коэффициент пропорциональный величине линейного по волновому вектору вклада в дисперсию экситона, μ_0 магнетон Бора, $\gamma_{0,1}$ - параметры Латтинжера, a_B боровский радиус экситона. Согласно данным [20] $B = 7.5 \cdot 10^{11} \text{ эВ} \cdot \text{см} \cdot T^{-1}$.

Таким образом, в геометрии Фарадея можно, наблюдать линейное двойное лучепреломление.

8. Поправки к эффекту Фарадея и Фогта, связанные с пространственной дисперсией

Эти поправки были недавно детально исследованы для различных кристаллов и гетероструктур. Рассмотрим вклад в диэлектрический тензор пропорциональный квадрату волнового вектора экситона и первой и второй степеням магнитного поля $C_{ijklm}^{(3)}(\omega)k_k k_l H_m$ и $C_{ijklmn}^{(4)}(\omega)k_k k_l H_m H_n$. Общий вид этих тензоров для произвольного направления магнитного поля и волнового вектора довольно громоздкий. Из симметрии по отношению к инверсии времени (2.1) следует:

$$C_{ijklm}^{(3)} = -C_{jiklm}^{(3)} \text{ и } C_{ijklmn}^{(4)} = C_{jiklmn}^{(4)} .$$

Пользуясь замечанием сделанным во введении (B4), можно получить, что в тензоре диэлектрической проницаемости в геометрии Фарадея $\mathbf{k} \parallel \mathbf{H}$ слагаемое $\sim k^2 H$ выглядят следующим образом:

$$\delta\varepsilon_{ij}(\omega, k^2, \mathbf{H}) = \begin{pmatrix} 0 & -C^{(3)}k_z^2 H_z & C^{(3)}k_y^2 H_y \\ C^{(3)}k_z^2 H_z & 0 & -C^{(3)}k_x^2 H_x \\ -C^{(3)}k_y^2 H_y & C^{(3)}k_x^2 H_x & 0 \end{pmatrix} . \quad (9.1)$$

При отсутствии поглощения параметр является $C^{(3)}$ чисто мнимым. Он был вычислен в статьях [28] для экситона в кубическом кристалле с вырожденной валентной зоной для геометрии $\mathbf{k} \parallel \mathbf{H} \parallel [100]$. Разумеется, величина $C^{(3)}$ зависит от геометрии эксперимента. В других геометриях соответствующие величины могут быть получены аналогичным образом.

Сравнивая (5.19) и (9.1) видно, что тензор $C_{ijklm}^{(3)}(\omega)$ дает поправки к эффектам Фарадея и Зеемана. Как было показано в [28] эти поправки для основного состояния экситона могут оказаться намного больше вклада от слагаемых $A_{ij}^{(1)}(\omega)H_l$.

Вклад слагаемых $\sim k^2 H$ в зеемановское расщепление основного состояния экситона представлен на рисунке 8.1 для разных структур с широкими квантовыми ямами на основе кубических полупроводников. На рисунке хорошо видно, что поправка к g - фактору экситона может достигать $g=6$ для экситонов с большими волновыми векторами. В то же время, g - фактор покоящегося экситона с $k=0$ не превосходит -0.5 в GaAs и, более того, может иметь обратный знак.

Микроскопическая природа этих поправок для экситона связана с тем, что в полупроводниках с вырожденной валентной зоной невозможно отделить внутреннее движение в экситоне от движения его центра масс. В результате к основному S - состоянию тяжелого экситона, у которого орбитальный момент равен нулю, подмешиваются возбужденные P - состояния легкого экситона. Можно получить следующее выражение для величины зеемановского расщепления:

$$\Delta E = \mu_B g_{eff}(k) H_z , \quad (9.2)$$

$$g_{eff}(k) = 12 \left(\frac{\gamma^2}{m_0} \right) \left(\frac{m_{hh}}{m_e + m_{hh}} \right)^2 \left(\frac{\hbar^2 k^2}{Ry} \right) \sum_n \frac{\langle 1S | r/a_B | nP \rangle \langle 1S | a_B \nabla | nP \rangle}{1 - 1/n^2 + \Delta(k)/Ry} \quad (9.3)$$

Здесь γ - параметр Латтинжера, m_{hh} - масса тяжелой дырки, a_B Борковский радиус экситона, Ry - экситонный Ридберг, k - волновой вектор экситона $\Delta(k)$ разность энергий легких и